

М.А. Рувінський, О.Б. Костюк, Б.С. Дзундза

## Класичні розмірні ефекти в плівках n-PbTe

Прикарпатський національний університет імені Василя Стефаника,  
вул. Шевченка, 57, Івано-Франківськ, 76018, Україна, e-mail: [fcss@pu.if.ua](mailto:fcss@pu.if.ua)

За кінетичним рівнянням Больцмана розв'язана крайова задача для розрахунку електропровідності та коефіцієнта Зеебека для плівки з прямокутним перерізом. Розглянуто дзеркально-дифузний механізм відбивання носіїв струму від поверхонь плівки. Розрахунки проведено для різних товщин невідродженого напівпровідника n-PbTe.

Проведено порівняння теоретичних розрахунків з отриманими експериментальними даними для парофазних конденсатів на основі PbTe

**Ключові слова:** класичні розмірні ефекти, тонкі плівки, плюмбум телурид, термоелектричні властивості.

Стаття поступила до редакції 15.06.2015; прийнята до друку 15.09.2015.

### Вступ

Плюмбум телурид добре відомий термоелектричний матеріал для напівпровідникової техніки. Інтерес до його дослідження не зменшується впродовж багатьох років завдяки унікальності фізико-хімічних властивостей. Оскільки він є вузькозонним напівпровідником A4B6, тому він підходить для застосування для інфрачервоних лазерів, оптичних детекторів, а також як термоелектричний матеріал для середньотемпературної області (500-750) [1-3]. У тонких плівках, завдяки переходу від 3D до 2D матеріалу, виникають нові розмірні ефекти, які виявляються також у профілях термоелектричних параметрів.

Сьогодні задачі з обчислення провідності тонких плівок є особливо актуальними в зв'язку з бурхливим розвитком мікро- і наноелектроніки. Також потреби сучасного суспільства у нових джерелах енергії супроводжують бурхливий розвиток термоелектричного матеріалознавства.

У даній роботі в квазікласичному наближенні розглянуто вплив механізму поверхневого відбивання електронів на електричну провідність плівки прямокутного перерізу. А також досліджено товщинні залежності коефіцієнта Зеебека плівок на основі PbTe на слюдяних підкладках.

Для більшості напівпровідників при кімнатній температурі довжини вільного пробігу  $l$  складають від 10 нм до 1000 нм, при цьому характерна довжина хвилі де Бройля  $\lambda$  при цій температурі порядку 10 нм.

В розглянутому далі випадку реалізуються умови, коли необхідно враховувати класичні розмірні ефекти, при  $\lambda \ll D \ll l$  ( $D$  – товщина плівки). А квантовими розмірними ефектами в цьому випадку можна нехтувати.

### I. Методика експерименту

Плівки для дослідження отримували осадженням пари синтезованого матеріалу n-PbTe у вакуумі на підкладки із свіжих сколів (0001) слюди-мусковіт та ситалу. Температура випарника складала  $T_v=870$  К, а температура підкладок  $T_p=470$  К. Товщину плівок задавали часом осадження в межах (8-36) с та вимірювали за допомогою мікроінтерферометра МІИ-4.

Вимірювання електричних параметрів плівок проводилося на повітрі при кімнатних температурах у постійних магнітних полях на розробленій автоматизованій установці, яка забезпечує як процеси вимірювання електричних параметрів, так і реєстрацію і первинну обробку даних, з можливістю побудови графіків часових і температурних залежностей. Вимірюваний зразок мав чотири холлівські і два струмові контакти. В якості омичних контактів використовувалися плівки срібла. Струм через зразки складав  $\approx 1$  мА. Магнітне поле було напрямлене перпендикулярно до поверхні плівок при індукції 1,5 Тл.

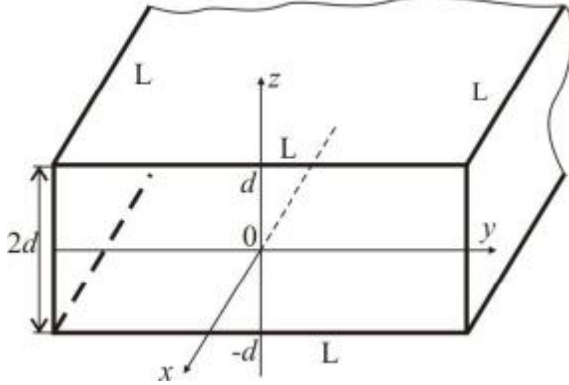
Залежності інтегральних величин електропровідності  $G$  і коефіцієнта Зеебека  $S_x$  від

товщини для плівок n-PbTe представлені на рис. 2,3,5.

Теоретичний розрахунок для опису характеру залежності  $G(d)$  і  $S(d)$  проводився з використанням засобів математичного пакета Maple 18.

## II. Теоретична модель

Розглядається тонка плівка з прямокутним перерізом. Будемо вважати, що довжина плівки набагато більша за її товщину ( $L \gg 2d$ ). Схематичне зображення моделі плівки наведено на рис. 1. Вважається, що розсіювання носіїв струму відбувається тільки від верхньої та нижньої меж плівки. Розрахунки будемо проводити для невідродженого напівпровідника зі стандартною сферично-симетричною енергетичною зоною. До кінців плівки прикладене електричне поле, напрям якого співпадає з віссю плівки. Виберемо систему координат так, як показано на рисунку 1.



**Рис. 1.** Схематичне зображення моделі тонкої плівки для дифузно-дзеркального механізму відбивання носіїв заряду від поверхонь плівки.

Коли товщина плівки  $D=2d$  порівняна з довжиною вільного пробігу носіїв струму, або менше за неї  $D \leq l$ , виникає суттєва нелокальність в зв'язку між  $\mathbf{E}$  та  $\mathbf{j}$ . Для опису цієї нелокальності необхідно знати нерівноважну функцію розподілу носіїв струму[4]:

$$f(\mathbf{r}, \mathbf{p}, t) = f_0(e) + f_1(\mathbf{r}, \mathbf{p}, t), \quad (1)$$

де  $f_1$  – відхилення функції розподілу  $f$  від рівноважної функції розподілу Фермі  $f_0$  [5]

$$f_0(e) = \left( \exp\left[ (e - m) / k_B T \right] + 1 \right)^{-1}, \quad (2)$$

де  $\mu$  – хімічний потенціал,  $T$  – температура плівки,  $k_B$  – стала Больцмана.

Кінетичне рівняння Больцмана в наближенні часу релаксації для стаціонарного стану  $f_1(\bar{r}, \bar{p})$  [6]:

$$\mathbf{r} \frac{\partial f_1}{\partial \mathbf{r}} - e(\mathbf{u} \mathbf{E}) \frac{\partial f_0}{\partial e} = -\frac{f_1}{t}, \quad (3)$$

тут  $e > 0$  – абсолютна величина заряду електрона,  $t = \frac{1}{n}$  – час релаксації.

Однозначний розв'язок задачі можливий лише за умови правильного вибору крайових умов для нерівноважної функції розподілу для прямокутного

перерізу плівки. В якості таких крайових умов візьмемо умову дзеркально-дифузного відбивання носіїв заряду від поверхні [6,7]:

$$f_1(\mathbf{r}, \mathbf{p}) = a f_1(\mathbf{r}, \mathbf{p}, \mathbf{p}') \text{ при } \begin{cases} |z| = d, \\ zp_z < 0. \end{cases}, \quad (4)$$

де  $\mathbf{r}$  – радіус-вектор електрона,  $\mathbf{p}$  – імпульс електрона,  $p_z$  – складова швидкості електрона вздовж вісі симетрії плівки,  $p'_z = \left[ 1 - (2z^2 / d^2) \right] p_z$  – проекція вектора імпульсу. При дзеркальному відбиванні від верхньої і нижньої поверхні плівки при  $z = \pm d$ ,  $p'_z = -p_z$ .  $a$  – коефіцієнт дзеркального відбивання (імовірність дзеркального відбивання),  $0 \leq a \leq 1$ . При  $a=0$  маємо дифузне відбивання, а при  $a=1$  – чисто дзеркальне відбивання,  $0 < a < 1$  – змішане дзеркально-дифузне відбивання. Випадок масивної плівки реалізується при  $d \rightarrow \infty$ , а також при  $a \rightarrow 1$ .

Завдяки крайовій умові (4) можна побачити поведінку функції  $f_1(\mathbf{r}, \mathbf{p})$  на границі дзеркального відбивання. В точці відбивання в момент часу  $t_n$  маємо стрибок функції розподілу:

$$f_1(t_n + 0) = a f_1(t_n - 0). \quad (5)$$

Знак +/- означає границю функції  $f_1(\mathbf{r}, \mathbf{p})$  в точці відбивання  $t_n$  справа або зліва по часу про літання електрона.

Розв'язуючи кінетичне рівняння Больцмана методом характеристик [8] остаточно маємо вирази для функцій розподілу.

$$f_{1k} = A \left[ 1 - \frac{(1-a) \exp(-nt_k)}{1-a \exp(-nt_0)} \right], \quad k=1,2. \quad (6)$$

Коефіцієнт  $A$  визначається з виразу:

$$A = \frac{e(\mathbf{v} \mathbf{E})}{n} \frac{\partial f_0}{\partial e}, \quad n = \frac{1}{t}, \quad (7)$$

Параметр  $t_k$  у виразі (6) має зміст часу руху електрона вздовж траєкторії від границі, на якій відбувається відбивання до точки  $\mathbf{r}$  зі швидкістю  $u_z$ .  $t_k \geq 0$ ,  $t_0 > 0$ , де  $t_0$  – час руху електрона від точки  $-d$  до  $d$  зі швидкістю  $u_z$

$$t_0 = 2d / |u_z| \quad (8)$$

Час  $t_k$  для даної задачі буде визначатися наступними виразами:

$$\begin{cases} t_1 = \frac{z-d}{u_z} n p u \quad 0 \leq z \leq d, p_z < 0, \\ t_2 = \frac{z+d}{u_z} n p u - d \leq z \leq 0, p_z > 0. \end{cases} \quad (9)$$

$u_z = p_z / m_z$ , де  $m_z$  – ефективна маса електрона в напрямку осі  $z$ .

При чисто дифузному розсіянні  $a=0$ . Тоді маємо наступні вирази для функцій розподілу

$$f_{1k} = A(1 - \exp(-nt_k)). \quad (10)$$

$a=1$  відповідає масивному зразку (як і при  $d \rightarrow \infty$ )

### 1. Електропровідність

Зовнішнє електричне поле, діючи на носії

струму, спричиняє появу всередині плівки струму, густиною  $\mathbf{j}$

$$\mathbf{j} = \frac{2e}{(2p\mathbf{h})^3} \int \mathbf{v}f(\mathbf{r}, \mathbf{p})d\mathbf{p}, \quad d\mathbf{p} \equiv dp_x dp_y dp_z. \quad (11)$$

Електричне поле прикладається вздовж осі  $x$ , тобто  $E_x=E, E_y=E_z=0$ . Тоді

$$j_x = \frac{2e}{(2p\mathbf{h})^3} \int u_x f_1(\mathbf{r}, \mathbf{p})d\mathbf{p} = sE, \quad (12)$$

де  $\sigma$  – провідність плівки.

Розглянемо дифузне відбивання  $\alpha=0$ . Тоді густина струму вздовж осі  $x$

$$j_x = -\frac{2e^2 E}{m_z^2 (2p\mathbf{h})^3} \sum_{k=1}^2 \int p_x^2 \frac{\partial f_0}{\partial e} (1 - e^{-v_k}) g(t_k) dp. \quad (13)$$

Тут  $g(t_k) = \begin{cases} 1, & t_k \geq 0, \\ 0, & t_k < 0. \end{cases}$  – функція Хевісайда, а похідна

від функції розподілу  $f_0$

$$\frac{\partial f_0}{\partial e} = -\frac{e^{-m}}{e^{k_B T}} \cdot \frac{1}{\left( e^{\frac{e-m}{k_B T}} + 1 \right)^2} \cdot \frac{1}{k_B T},$$

Для розрахунку інтегралу (13) зручно перейти до циліндричної системи координат

$$e = \frac{1}{2m_z} \left( p_z^2 + \frac{m_z}{m_\perp} p_\perp^2 \right), \quad p_\perp^2 = p_x^2 + p_y^2, \quad p_x = p_\perp \cos j$$

$$d\mathbf{p} = p_\perp dp_\perp dj dp_z$$

Внаслідок крайових умов виявляється нелокальність провідності  $\sigma = \sigma(z)$ . Введемо поняття інтегральної провідності.

$$G = \int_{-d}^d s(z) dz. \quad (14)$$

Тоді повний струм

$$I = GU, \quad (15)$$

де  $U = EL$  – напруга на кінцях плівки,  $L$  – довжина плівки.

Якщо визначити розмірність інтегральної провідності, то  $[G] = \frac{1}{\text{Ом}} = \frac{A}{B}$ .

Від інтегрування по  $dp_\perp$  переходимо до інтегрування по  $de_\perp$ , яке можна визначити точно.

Остаточний результат після інтегрувань по  $de_\perp$ ,  $d\varphi$ ,  $dz$  і попереднього підсумовування по  $k=1,2$  маємо:

$$G = -\frac{e^2 (k_B T)^2}{p^2 \mathbf{h}^3 n^2} \int_{-m^*}^{\infty} dh \left[ 1 - \exp\left( -\frac{q}{\sqrt{h+m^*}} \right) \right] \ln(1 + e^{-h}), \quad (16)$$

де  $m^* = \frac{m}{k_B T}$  – безрозмірний хімічний потенціал,

$q = \frac{d}{l}$  – безрозмірна напівтовщина плівки,  $l$  –

середня довжина вільного пробігу електрона,

$$l = \sqrt{\frac{k_B T}{m_z}} t \quad (17)$$

Вважаємо, що час релаксації  $t$  не залежить від

енергії (для достатньо тонких плівок це відповідає механізму розсіяння на акустичних фононах).  $t$  можна оцінити за експериментальним значенням рухливості  $\mu_d$  носіїв струму [9],

$$t = \frac{m_d m_z}{e}, \quad (18)$$

Якщо ж електричне поле прикладається вздовж осі  $z$ , тобто  $E_z = E = \text{const}$ ,  $E_x = E_y = 0$  [10], то густина струму вздовж осі  $z$  при дифузному відбиванні визначається за допомогою виразу

$$j_z = -\frac{2e^2 E_z}{m_z^2 (2p\mathbf{h})^3} \sum_{k=1}^2 \int p_z^2 \frac{\partial f_0}{\partial e} (1 - e^{-v_k}) g(t_k) d\mathbf{p}. \quad (19)$$

В даній моделі ширина плівки набагато більша від її товщини і відбиванням від бічних стінок плівки можна нехтувати.

Відповідна інтегральна провідність

$$G_z = \int_{-d}^d s_{zz} dz. \quad (20)$$

Після інтегрування отримаємо

$$G_z = -\frac{2e^2}{p^2 \mathbf{h}^3 n^2} \frac{m_\perp}{m_z} (k_B T)^2 \times \int_{-m^*}^{\infty} \frac{(h+m^*)}{(e^h+1)} \left[ 1 - \exp\left( -\frac{q}{\sqrt{h+m^*}} \right) \right] dh \quad (21)$$

Сила струму, яка виникає в плівці при напрямку зовнішнього поля вздовж осі  $z$

$$I_{zz} = G_{zz} U, \quad \text{де } U = 2Ed.$$

## 2. Термоерс

Термоелектричний коефіцієнт

$$b = -\frac{2et}{(2p\mathbf{h})^3 T} \sum_{k=1}^2 \int u_x^2 (e-m) \left( \frac{\partial f_0}{\partial e} \right) (1 - e^{-v_k}) g(t_k) d\mathbf{p}. \quad (22)$$

Часи  $t_k$  будуть визначатися за формулами (9).

Внаслідок крайових умов виявляється нелокальність  $\beta = \beta(z)$ . Тому вводимо інтегральний термоелектричний коефіцієнт

$$B = \int_{-d}^d b(z) dz. \quad (23)$$

Термоелектричний струм визначається через інтегральний коефіцієнт  $B$ :

$$I_{th} = B \Delta T = B \frac{\partial T}{\partial x} L,$$

де  $\Delta T = \frac{\partial T}{\partial x} L$ . Тоді

$$B = \frac{ek_B}{p^2 \mathbf{h}^3 n^2} (k_B T)^2 \int_{-m^*}^{\infty} \left[ 1 - \exp\left( -\frac{q}{\sqrt{h+m^*}} \right) \right] \times \left[ \frac{h}{e^h+1} + 2 \sum_{n=0}^{\infty} \frac{(-1)^n}{(1+n)^2} e^{-(n+1)h} \right] dh \quad (24)$$

Термоерс плівки дорівнює відношенню  $B$  до  $G$

$$S_x = -\frac{B}{G}. \quad (25)$$

Отже

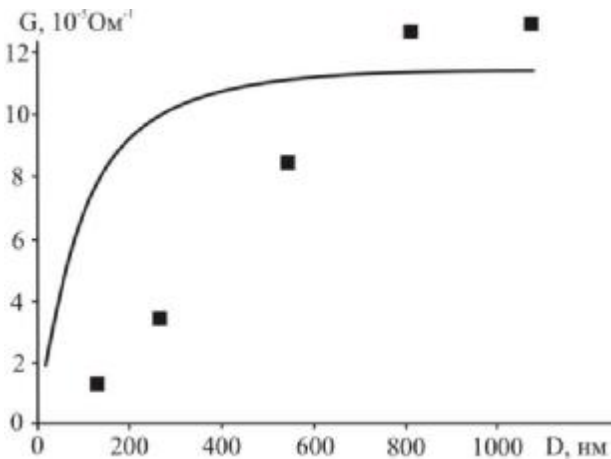
$$S_{xx} = \frac{\int_{-m}^{\infty} \left[ 1 - \exp\left(-\frac{q}{\sqrt{h+m^*}}\right) \right] \left[ \frac{h}{e^h + 1} + 2 \sum_{n=0}^{\infty} \frac{(-1)^n}{(1+n)^2} e^{-(n+1)h} \right] dh}{e \int_{-m}^{\infty} \left[ 1 - \exp\left(-\frac{q}{\sqrt{h+m^*}}\right) \right] \ln(1+e^{-h}) dh}$$

Для випадку змішаного дзеркально-дифузного відбивання в отриманих формулах для  $G$ ,  $B$  і  $S_{xx}$  потрібно зробити заміну

$$\exp\left(-\frac{q}{\sqrt{h+m^*}}\right) \rightarrow \left( \frac{1-a}{1-ae^{-\frac{2q}{\sqrt{h+m^*}}}} \right) \exp\left(-\frac{q}{\sqrt{h+m^*}}\right) \quad (26)$$

### III. Результати та обговорення

На рис. 2 представлено теоретичну криву для інтегральної провідності плівок різної товщини та експериментальні дані. Видно, що зі збільшенням товщини плівок  $D$  провідність суттєво зростає з виходом на насичення при  $D \approx 600$  нм. У даному випадку суттєвий вплив мають розмірні ефекти, які зі зростанням товщини стають незначними.



**Рис. 2.** Залежність інтегральної провідності  $G$  від товщини плівок  $p$ -PbTe на свіжих сколах (1000) слюда-мусковіт. Точки – експеримент, суцільні лінії – розрахунок згідно моделі квазікласичного наближення при  $\alpha=0$ .

В якості вхідних параметрів використовувалися значення ефективних мас носіїв заряду в  $p$ -PbTe і рухливість електронів масивного кристала. Для розрахунку використовувалися параметри, наведені в таблиці. Визначене значення безрозмірної енергії Фермі для даних кривих (рис. 2–6) становило  $\mu^* = -3,8$ . Тобто електронний газ у плівках таких товщин буде невиродженим. Це підтверджує попереднє твердження, що носії струму у плівках будуть підпорядковані статистиці Максвелла-Больцмана.

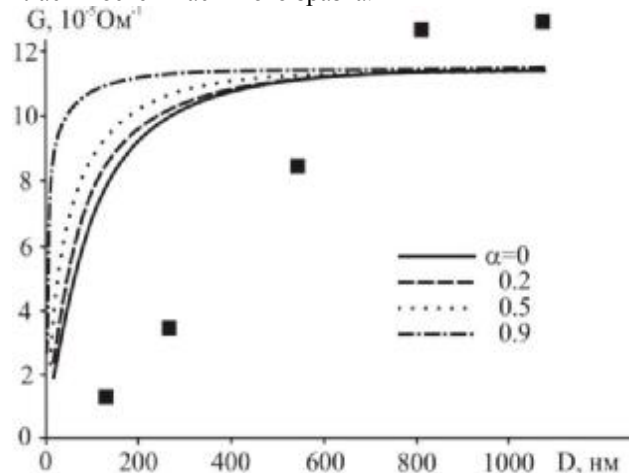
Теоретично розраховані криві задовільно описують експериментально отримані результати. Неспівпадіння може бути пов'язано з тим, що в даній моделі не враховувалося розсіяння на міжзеренних межах а також акцепторна дія кисню, який суттєво впливає на електричні параметри плівок [11]. Крім

того, не врахована різниця між двома поверхнями плівка-підкладка і плівка-повітря.

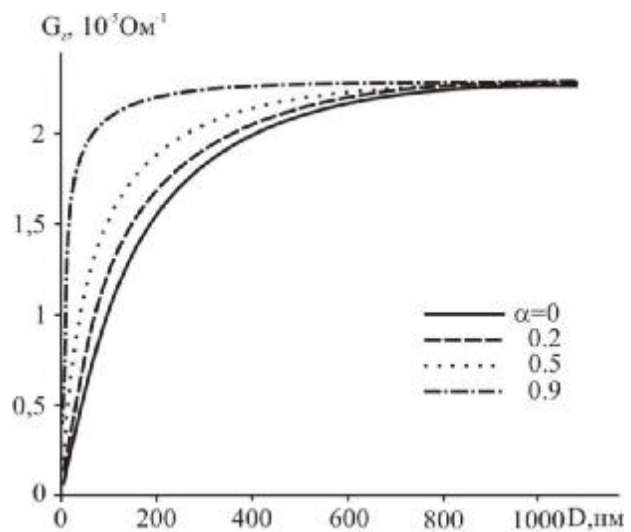
Середня довжина вільного пробігу  $l$  носіїв струму, розрахована згідно формули (17), для тонких плівок на основі  $p$ -PbTe складає  $\sim 72$  нм.

Інтегральна провідність також була розрахована для різних значень коефіцієнта дзеркального відбивання  $\alpha$  (рис. 3). Видно що найліпше експеримент описує крива з  $\alpha=0$ . Тобто для цих плівок реалізується механізм повністю дифузного розсіяння завдяки тому, що поверхня плівки є недосконалою та може мати на поверхні нанорозмірні кристаліти [12].

З аналізу кривих на рис. 3,4 видно, що всі криві збігаються, так як має місце макроскопічна асимптотика. Тобто товсті плівки набувають властивостей масивного зразка.



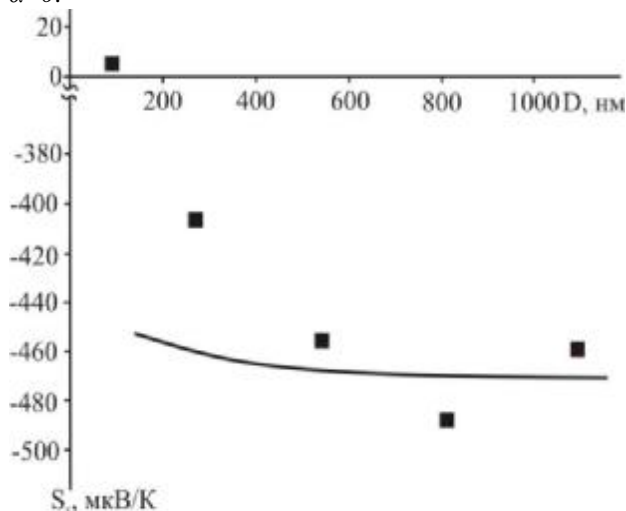
**Рис. 3.** Залежність інтегральної провідності  $G$  від товщини плівок  $p$ -PbTe на свіжих сколах (1000) слюда-мусковіт для різних значень  $\alpha$ . Точки – експеримент, суцільні лінії – розрахунок згідно моделі квазікласичного наближення.



**Рис. 4.** Розрахунок залежностей інтегральної провідності  $G_z$  від товщини плівок  $p$ -PbTe згідно моделі квазікласичного наближення для різних значень коефіцієнта дзеркальності  $\alpha$ .

Теоретичний розрахунок залежностей інтегральної провідності  $G_z$  вздовж осі  $z$  від товщини плівок n-PbTe згідно моделі квазікласичного наближення для різних значень коефіцієнта дзеркальності  $\alpha$  наведений на рисунку 4. З рисунка видно, що криві для  $G_z$  поводять себе аналогічно кривим для  $G$ . Для провідності вздовж осі  $z$  також присутній розмірний ефект взаємозалежності від товщини плівки. Видно також, що інтегральна провідність  $G_z$  на порядок менша, ніж провідність  $G$ .

Коефіцієнт Зеебека  $S_x$  не значно залежить від товщини плівок і знаходиться в межах (-400) – (-480) мкВ/К (рис. 5). В області малих товщин спостерігається зменшення коефіцієнта Зеебека, що спричинене акцепторним впливом кисню. Це підтверджується тим, що найтонша плівка з експериментальних даних має р-тип провідності. Теоретична крива задовільно описує експеримент в області більших товщин і приведена для значення  $\alpha=0$ .



**Рис. 5.** Залежність коефіцієнта Зеебека  $S$  від товщини плівок n-PbTe на свіжих сколах (1000) слюдамусковіт. Точки – експеримент, суцільні лінії – розрахунок згідно моделі квазікласичного наближення при  $\alpha=0$ .

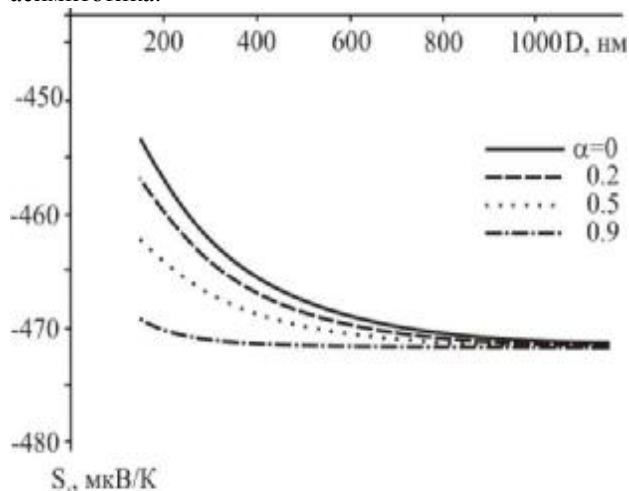
**Таблиця**

Параметри, які використовувались при розрахунку термоелектричних параметрів для плівок n-PbTe [13,14]

$\mu$ , см <sup>2</sup> /В·с	T, К	$m$ , кг	$m_z$ , кг
2700	300	0,024 $m_0$	0,24 $m_0$

$m_0$  – дійсна маса електрона.

На рис. 6 приведені розрахункові залежності коефіцієнта Зеебека  $S$  від товщини плівок n-PbTe згідно запропонованої моделі для різних значень коефіцієнта дзеркальності  $\alpha$ . Для товстих плівок всі криві збігаються, так як має місце макроскопічна асимптотика.



**Рис. 6.** Розрахунок залежності коефіцієнта Зеебека  $S$  від товщини плівок n-PbTe згідно моделі квазікласичного наближення для різних значень коефіцієнта дзеркальності  $\alpha$ .

## Висновки

1. Наведено теоретичні основи для розгляду класичних розмірних ефектів в напівпровідникових плівках. Використовуючи кінетичне рівняння Больцмана визначено інтегральну провідність та коефіцієнт Зеебека для плівки з прямокутним перерізом в залежності від її товщини.

2. Розглянуто дзеркально-дифузний механізм відбивання носіїв струму від поверхонь плівки. Розрахунки проведено для невродженого напівпровідника n-PbTe.

3. Проведено порівняння теоретичних розрахунків з експериментом для парофазних конденсатів на основі PbTe. Показано, що теоретичні результати якісно описують експериментальні дані.

**Рувінський М.А.** – доктор фізико-математичних наук, професор;

**Костюк О.Б.** – аспірант;

**Дзундза Б.С.** – кандидат фізико-математичних наук, старший науковий співробітник.

- [1] Shperun V.M., Freik D.M., Zapuhljak R.I.. Termoelektrika teluridu svincju ta jogo analogiv (Plaj, Ivano-Frankivs'k, 2000).
- [2] M.S. Dresselhaus, G. Chen, M.I. Tang, R. Yang, H. Lee, D. Wang, Z. Ren, J-P. Fleurial, P. Gagna. Adv. Mater. 19, 1043 (2007).
- [3] A.N. Kovalev, V.V. Ostroborodova, V.I. Paramonov, P.I. Folomin. Fizika i tehnika poluprovodnikov 11, 2039, (1989).
- [4] A.I. Ansel'm, Vvedenie v teoriju poluprovodnikov (Nauka, Moskva, 1978).

- [5] O.M. Ermolaev, G.I. Rashba, Vstup do statistichnoï fiziki i termodinamiki (HNU, Harkiv, 2004)
- [6] Dzh. Zajman, Jelektrony i fonony (IL, Moskva, 1962).
- [7] Je.V. Zavitaev, A.A. Jushkanov, ZhTF, 77(6),139 (2007).
- [8] R. Kurant, Uravnenija s chastnymi proizvodnymi (Mir, Moskva, 1962).
- [9] E.V. Kuchis, Gal'vanomagnitnye jeffekty i metody ih issledovanija (Radio i svjaz', Moskva, 1990)
- [10] N. Trivedi, N.W. Ashcroft, Phys. Rev. B, 38(17), 38 (1988).
- [11] B. S. Dzundza, Ja. S. Javors'kij, G. D. Mateik, Ju. V. Lisjuk, Fizika i himija tverdogo tila, 12 (1), 85 (2011).
- [12] D.M. Freik, Ja.S. Javors'kij, P.M. Litvin, I.S. Bilina, I.M. Lishhins'kij, V.B. Marusjak, Fizika i himija tverdogo tila, 14 (2), 436 (2013).
- [13] Ju.I. Ravich, B.A. Efimova, I.A. Smirnov, Metody issledovanija poluprovodnikov v primenenii k hal'kogenidam svinca PbTe, PbSe, PbS (Nauka, Moskva, 1968).
- [14] M. Moldovanova, R. Assenov, L. Parthier, Phys. stat. sol. (a) 108, 699 (1988).

М.А. Рувинский, О.Б. Костюк, Б.С. Дзундза

## Classical Size Effects in Films of n-PbTe

*Vasyl Stefanyk Prekarpathian University,  
Shevchenko Str., 57, Ivano-Frankivsk, 76018, Ukraine, e-mail: [fcss@pu.if.ua](mailto:fcss@pu.if.ua)*

Based on kinetic Boltzmann equation the boundary problem of calculating the conductivity and Seebeck coefficient for a film with a rectangular cross section is solved. Mirror- diffuse mechanism of reflection of the charge carriers from the surfaces of the film is considered. Calculations were performed for different thicknesses nondegenerate semiconductor n-PbTe.

A comparison of theoretical calculations with obtained experimental data for vapor-phase condensates based on PbTe is made.

**Keywords:** classical size effects, thin film, lead telluride, thermoelectric properties.